

施設園藝에 있어서 栽培管理의 自動化 시스템에 關한 研究 (I)*

— 물관리 自動化 —

A Microcomputer-Based Control System for Green House (I)

— Water Management —

李 基 明** 朴 圭 植**

K. M. Lee, K. S. Park

Summary

As a part of study on automatic control system for green houses, an automatic irrigation system was developed by using microcomputer.

For the study, gypsum block was used as a sensing device of soil moisture and its data was designed to transfer to microcomputer through A/D converter.

Also, software which be able to control the irrigation time and flow rate by the solenoid valve was developed.

This system was tested by using practical data and the following results were summarized.

1. Since the gypsum was very accurate in addition with cheap and easy to manufacture, it turned out to be a very good device to detect the soil moisture in this system.
2. Also, solenoid valve was very excellent device for controlling the water flow rate since its control error is less than 1% when the irrigation time is over 100 seconds.

I. 緒 論

所得增大와 生活與件의 向上 등으로 高等 菜蔬類와 花卉 등의 消費가 날로 增加하고 있으며, 年中 거의 一定한 消費性向을 나타내고 있다. 이에 따라 施設栽培面積도 增加하여 1984年末 現在 19,000ha에 達하고 있으며, 寒冷時 菜蔬와 花卉類의 圓滑한 供給을 위해 이 施設栽培面積은 더욱 더 增加할 것으로 期待된다. 그러나, 實質農村勞動人口의 減少와 露地栽培에 比해 高溫多濕하고 頻度갖은 하우스內에서의 作業등으로 因해 施設栽培에서 作業管理의 自動化乃至 無人化는 切實하게 要請되고 있다. 美國, 日本 등 外國에서는 마이크로컴퓨터를 作業管理에 利用하는 研究^{8), 9), 10)} 가 活發히 進行되고 있다. 本研究에

서는 施設栽培에서 大量의 労動力이 所要되는 물管理作業을 마이크로컴퓨터를 利用하여 自動化하는 On-Line 制御시스템과 制御software를 開發하고, 그性能을 檢討하여 施設栽培에 利用하고자 試圖하였다.

II. 實驗裝置 및 方法

1. 實驗裝置의 概要

Fig. 1과 같이 土壤水分을 石膏블럭으로 檢出하고 增幅回路를 通한 아날로그 信號를 A/D Converter에 의하여 디지털信號로 變換하여 컴퓨터에 入力시킨다. 이 测定된 土壤水分 데이타에 의해 灌溉必要與否를 判斷하여 Relay 또는 Triac으로 Solenoid

*本研究는 1984年度 韓國科學財團의 研究費 支援에 의하여 遂行된 것임.

**慶北大學校 農科大學 農工學科

Valve를 作動시켜 노즐을 通해 必要量의 물을 撒布
하도록 裝置하였다.

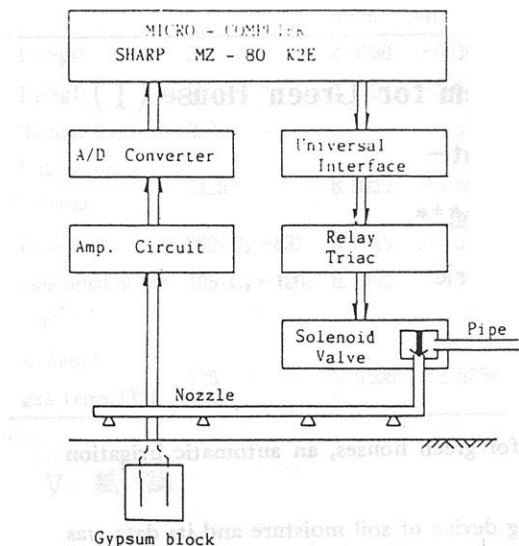


Fig. 1. Schematic diagram of the experimental system

2. 土壤水分의 計測

1) 石膏블럭
一般的으로 土壤水分測定 Sensor로는 石膏블럭과 Tensio-meter가 使用되고 있다. 그런데, Tensio-meter는 比較的 낮은水分에 正確하지만 高價이어서, 本 實驗에는 廉價로製作이可能な 石膏블럭을製作使用하였다. 土壤에 埋設된 石膏블럭의 含水量은 土壤의水分과 平衡狀態를 이루게 되고, 이 때의 石膏블럭의水分變化에 따른 電導率를 測定하여 土壤水分이 測定되도록 되어 있다. 石膏블럭에 使用한 電極은 두께 0.2mm의 銅版으로, 가로, 세로 각

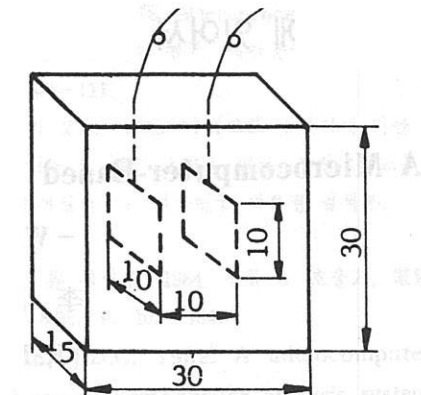


Fig. 2. Dimension of gypsum block for soil moisture Sensor

$$C(F) = K \frac{\epsilon S}{D} \quad \dots \dots \dots (1)$$

K : 比例定數

ϵ : 誘電率

S : 電極板의 面積

D : 電極사이의 距離

各 10mm인 正方形으로 Fig. 2와 같이 平行하게 對向시키고, 電極間의 距離는 10mm를 維持하게 하였다. 石膏블럭에서의 두 電極사이에는 Condenser를 形成⁶⁾하게 되고, 이 Condenser의 靜電容量 C(F)는 式(1)과 같이 나타낼 수 있다. 式(1)에서와 같이 Condenser容量은 電極板의 面積(S)에 比例하고, 두 電極사이의 距離에 反比例함을 알 수 있다.

2 檢出·增幅回路

Fig. 3은 石膏블럭을 使用한 土壤水分計測을 위한 電子回路^{3), 4), 7)}이다. 石膏블럭의 電極間に 交流電圧을 印加하여 電極間に 流하는 電流를 檢出하여 石膏블럭의 含水量變化에 따른 電極間의 低抗變化를

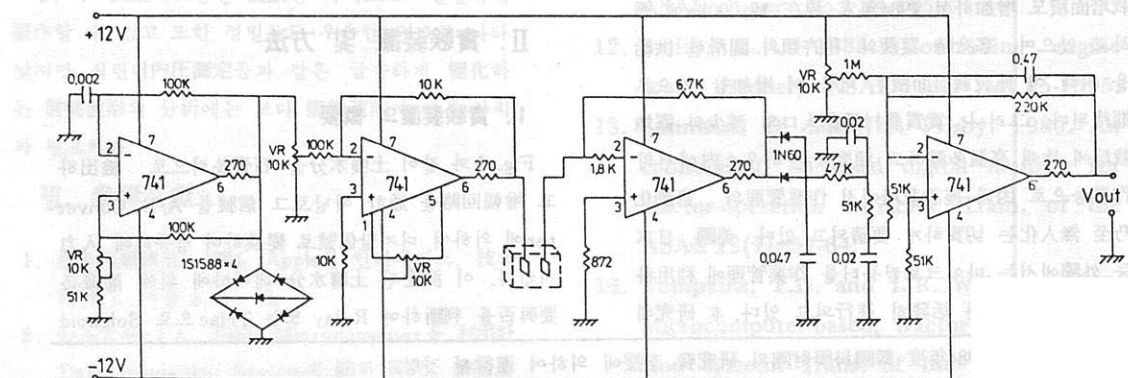


Fig. 3. Electronic circuit for measurement of soil moisture

測定한다. Fig. 3 の 回路에서 4 개의 op-Amp (741) 은 各各 發振器, 減衰器, 電流檢出, low-pass filter 를 動作하고 ±12V 의 回路入力電源에 의하여 發振器에서의 高周波電壓은 一定하므로 檢出回路出力은 電流振幅에 比例한 直流電壓으로 出力된다. Condenser만의 交流回路에서 電流와 電壓과의 比例 같은 量인 리액턴스⁶⁾는 式(2)와 같이 나타낼 수 있고 이

$$X_C = \frac{1}{\omega C} = \frac{1}{2\pi f C} = \frac{E_m \sin \omega t}{I_m \sin \omega t} \quad (2)$$

ω : Angular Velocity
C : Electrostatic capacity
f : Frequency

$E_m \sin \omega t$: AC voltage
 $I_m \sin \omega t$: AC current

리액턴스는 電極사이의 電流의 流れ를 制限하는 一種의 交流抵抗이다. 結局 Fig. 3 の 土壤水分計測回路에서의 出力電壓은 電流振幅에 比例하므로 Condenser 容量에 比例한 量으로 나타남을 알 수 있다.

3) Calibration

土壤水分과 Fig. 3 的 檢出回路에 의한 電壓과의 關係를 求하기 위하여 實驗土壤 Coarse Sand 48.9 %, Fine Sand 34.7%, Clay 16.4%의 砂質食養

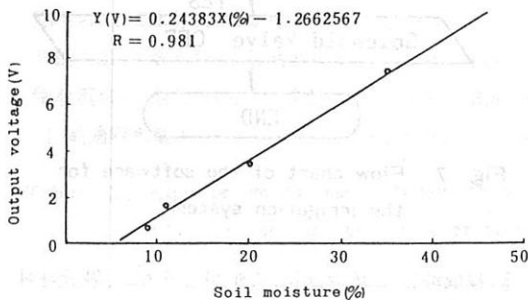


Fig. 4 Calibration curve between soil moisture and output voltage by using the gypsum block

土에 石膏를 터를 埋設하고 土壤이 饽和狀態가 되도록 水分을 加하여, 一定時間間隔으로 土壤의 무게와 出力電壓을 測定하고, 마지막으로 乾燥爐에서 105°C의 温度로 完全乾燥한 무게를 基準으로 한 乾量基準土壤水分과 電壓과의 關係를 求하였다. Fig. 4 는 土壤水分檢出回路에서의 出力電壓(V)과 土壤水分(%) 과의 Calibration Curve이다.

4) CPU에의 入力

OUT # AD, CH (1)

INP # AD, VA (2)

Fig. 1에 나타난 것과 같이 檢出回路에서의 아날로그出力電壓은 A/D Converter에 의해 디지털信號로 變換되어 마이크로컴퓨터의 CPU에 入力된다.

Fig. 3의 檢出回路에서의 出力電壓은 0~10V의 範圍이므로 A/D Converter Unipolar 回路를 選擇해서 變換한다.

위의 命令(1), (2)는 A/D Converter의 實行命令으로 變數 AD는 A/D Converter 回路上의 Dip switch에 의해 指定되는 Port-address이다. Port-address는 0~239 까지의 숫자를 2進數로 變換하여 Table 1과 같이 指定한다. 命令(1)의 變數 CH는 A/D Converter의 人力 Port 0~7 까지 8개의 Channel番號이며, 命令(2)의 變數 VA는 命令(1)에서 指定된 Port-address와 channel로 入力된 0~10V의 土壤水分檢出信號를 0~255의 8bit 2進數로 記憶하게 된다.

Table 1. Assignment of the port address by dip switch.

| Channel No | 0 | 1 | 2 | 3 | 4 | 5 | 6 | 7 |
|-------------|-----|-------------------------------------|-------------------------------------|-------------------------------------|-------------------------------------|-------------------------------------|-------------------------------------|-------------------------------------|
| Binary code | 0 | 1 | 1 | 0 | 0 | 1 | 0 | 0 |
| DIP switch | ON | <input checked="" type="checkbox"/> |
| | OFF | <input type="checkbox"/> |

3. Solenoid Valve의 作動

1) Interface를 通한 出力

Microcomputer에 記憶된 프로그램에 의해 實行된 制御命令은 Interface를 通해 出力된다. Interface에서의 出力은 2進數의 1일때 High, 0일때 Low-level 信號이다. 正論理로 Interfacing한 境遇 High-level 信號는 5V, Low-Level 信號는 OV이며, 必要한 境遇 反對의 出力은 否論理로 Interfacing함으로써 얻어진다. 命令(3)은 Interface 實行

OUT # AD, VA (3)

Table 2. Output at the interface.

| Channel No | 0 | 1 | 2 | 3 | 4 | 5 | 6 | 7 |
|---------------|---|---|---|---|---|---|---|---|
| Binary code | 0 | 1 | 1 | 0 | 0 | 1 | 0 | 0 |
| Output signal | L | H | H | L | L | H | L | L |

命令이고, 變數AD는 A/D Converter에서와 같은

Port-address이며, 變數VA는 Table 2와 같이 出力하고자 하는 10進數의 숫자 또는 이 숫자를 指定하는 變數이다.

Table 2에 나타난 것은 1, 2, 5番 Channel을 通過해 出力하기 위한 例로써, 正論理로 Interfacing 한境遇이며, 10進數로 變數VA가 100일 때의 경우이다.

2) Switch

Interface에서의 出力은 100V用 Pump나 Solenoid valve를 作物시킬 수 없으므로, Fig. 5, 6과 같은 增幅回路와 電力用 制御素子인 Relay 또는 Triac을 使用^{1), 2)} 한다. 壽命 2×10^6 回, 復歸時間 1/60sec의 機械式 接點의 Relay는 制御用量이 较아 Fig. 5의 回路와 같이 두 개를 並列로 使用하였다. Fig. 6은 電子式 接點의 交流專用制御素子인 Triac을 使用한 回路이다.

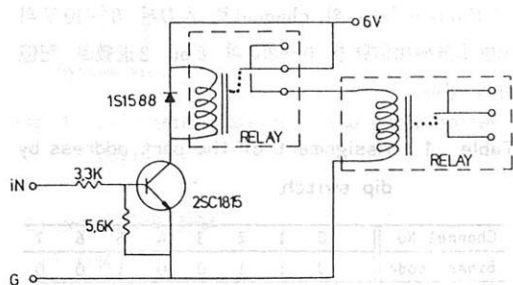


Fig. 5 Relay circuit diagram

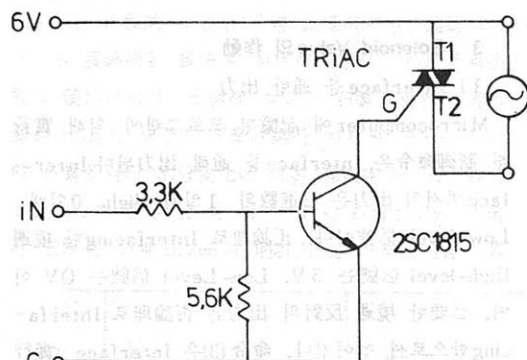


Fig. 6 Triac circuit diagram

3) Solenoid Valve

灌溉作業에一般的으로 많이 使用하는 電動機에 의한 Pump는 CPU에서의 ON命令 即時 Pumping이 되지 않는 遲延時間 등 制御誤差가 發生하기 때문에 本 實驗에서는 最近 產業 Automation에서 重要構成部品으로 使用하고 있는 Solenoid Valve를 上水道

에 連結하는 方法을 試圖하였다.

4) 制御 Software

Fig. 7은 制御프로그램의 Flow chart이다. 土壤

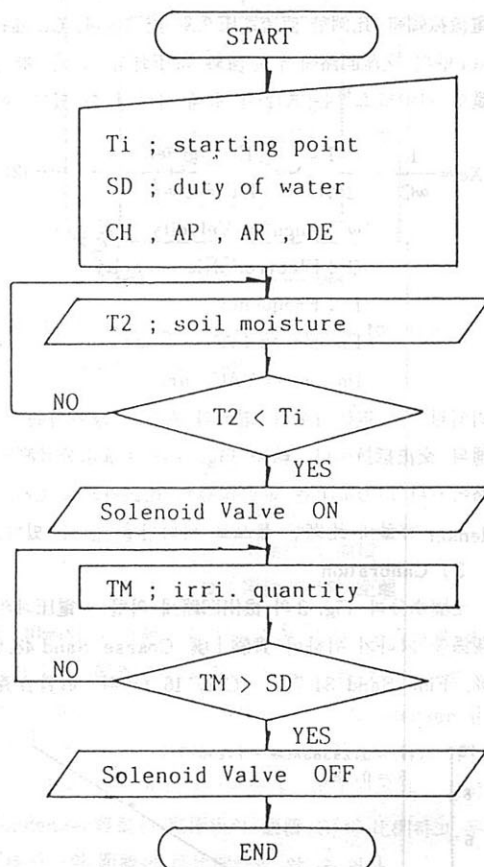


Fig. 7 Flow chart of the software for the irrigation system

을構成하는 土壤成分을 크게 다섯가지로 分區하여 각각에 대 한 灌溉開始點 水分으로 水分當量과 灌溉水量인 用水量⁵⁾의 데이터를 入力한다. 이 데이터에 의해 石膏불력이 埋設된 土壤의 构成百分率에 따라 灌溉開始點 水分(Ti)과 灌溉水量(SD)이 計算된다. 石膏불력에 의해 檢出된 水分은 A/D Converter의 人力 port에 入力되고, 이 人力 port의 channel番號(CH)와, 石膏불력이 埋設된 土壤의 面積 即 權灌溉面積(AR)과 權灌溉가 必要한 土壤의 깊이(DE)를 入力因子로 한다. Multi Flexer를 利用하면 多く 地點에 石膏불력을 埋設할 수 있으며, 좁은 面積에서 作物과 土壤의 種類가 多樣한 경우에도 同時に 入力이 可能하다. 이 외에 入力因子는 灌溉에 利用 Solenoid Valve의 秒

當流量이다. 프로그램이 實行되면 土壤水分을 計測하여 現재 石膏블럭이 埋設된 地點의 土壤水分이 灌溉開始點 以下, 即 灌溉가 必要한 경우 Solenoid-valve를 作動시켜 入力된 データ에 의해 決定된 灌溉水量을 入力因子인 Solenoid-valve의 秒當流量으로 나눈 時間까지 灌溉를 繼續하고, 灌溉가 끝나면 灌溉水量과 灌溉時間등을 Print하고, 土壤水分이 灌溉開始點 以上, 即 灌溉가 必要하지 않은 경우에는 土壤水分計測을 繼續한다.

III. 結果 및 考察

1. 灌溉方法

밭作物의 土壤은 降雨나 充分한 灌溉以後부터 乾燥하기 始作하여 生長有效水分 即 灌溉開始點 水分으로 되면 다시 灌溉를 必要로 한다. 一般的으로 灌溉開始點水分으로 初期萎凋點과 水分當量을 取하고 있는데, pF2.7 程度의 水分이 植物이나 여리 微生物에 가장 利用되기 좋은 狀態로 알려져 있다. 그러므로 밭作物의 土壤水分을 恒常 이付近의 最適容水量으로 維持시키는 것이 가장 理想의 이지만 實際에서는 不可能하므로, 土壤이 含有할 수 있는 最大的 水分量인 圃場容水量만큼 灌溉를 하고 灌溉開始點까지 土壤水分이 減少하면 다시 灌溉를 하여 平均的으로 土壤水分을 最適容水量이 되도록 하는 間斷灌溉法을 取하였다. 本 實驗에서는 Table 3과 같이 最適容水量에 가장 가까운 水分인 水分當量을 灌溉

Table 3. Equilibrium and optimum soil moistures of various component of soil

| Soil component | Moisture equivalent (%) | Optimum soil moisture vol. (%) |
|----------------|-------------------------|--------------------------------|
| Coarse sand | 1.55 | 12~18 |
| Fine sand | 5.5 | 16~24 |
| Sandy loam | 12.0 | 20~30 |
| Loam | 18.9 | 23~33 |
| Clay loam | 27.4 | 24~36 |

溉開始點으로 하고, 灌溉하고자하는 土壤體積의 12~36%에 該當하는 圃場容水量의 60~80%의 量을 灌溉水量으로 하여 灌溉를 하였다.⁵⁾

2. 制御性能

本 研究에서 開發된 소프트웨어에서는 灌溉水量을 Solenoid-Valve의 秒當流量으로 나눈 時間 即 灌溉時間으로 制御를 하는데, 本 實驗에 사용한 마이크로 컴퓨터가 處理하는 最小時間單位가 秒單位이기 때문에 最大誤差는 Solenoid Valve의 秒當流量에 該當된다. 그러나, 灌溉方法에서 論한 바와 같이 土壤水分을 平均의으로 最適容量을 維持시키면 되고, 制御에서 發生하는 誤差가 作物에 影響을 미치는 것은 아니지만, 過多한 灌溉는 結局 浪費이므로, 可能하면 줄이는 게 좋을 것이다. 實際로 入力を Solenoid valve의 秒當流量으로 하고, 秒單位로 制御를 할 경우 灌溉時間이 100秒以上이면 誤差는 1%以下로 줄어든다.

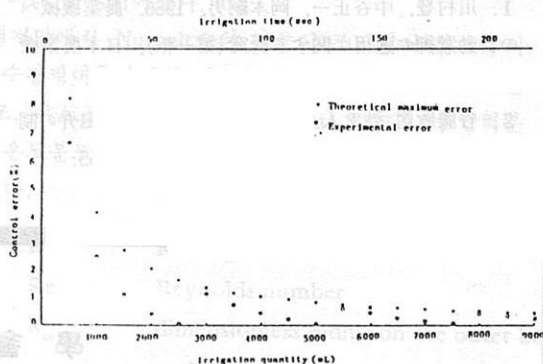


Fig. 8 Control errors depending on irrigation time and quantity

Fig. 8은 秒當流量이 41ml인 Solenoid Valve를 使한 경우의 理論의으로 計算에 의해 구한 最大誤差와 實測에 의한 誤差를 나타낸 것이다.

은 값을 보여 주고 있다. 또한 實測 관개에서의 관개시간은 數~數拾秒 또는 分으로 끝나는 경우는 없으며 보통 數時間동안 관개를 하기 때문에 制御誤差는 0에 가까운 값이 되며 本 시스템의 制御性能이 우수함을 인정할 수 있다.

IV. 結論

本 研究는 마이크로 컴퓨터를 이용하여 施設園藝에 있어서 栽培管理의 自動化 시스템 開發을 目的으로 이루어진 一連의 研究中 물管理 自動화에 關한 것이다.

즉 석고블럭으로 土壤水分을 計測, A/D 변환기를 통하여 마이크로 컴퓨터로 관개시기 관정과 관개수

량을 계산하여 Solenoid valve를 사용하는 관개 장치作動이 On-line 제어되는 시스템을製作하고 이를 제어하는 프로그램을 개발하여 제어性能을 검討하였다.

얻어진 결과를 요약하면 다음과 같다.

1. 관개시기 판정 및 관개수량 계산을 위한土壤水分計測 Sensor로는製作이 간편하고 염가인 석고불러으로性能이 충분하였다.

2. 관개수량 제어 소자는 Solenoid valve에 의한 경우 관개시간이 100초이상이면 제어最大誤差가 1%이하로 되어 제어性能이 우수하였다.

参考文献

- 川村登, 中谷正一, 岡本嗣男. 1966. 農業機械への自動制御の應用に関する研究(第一報), 日本農業機械學會. 28(2): 67~72.
- 谷腰欣司外2人. 1983. DCモータと電磁弁の制御技術, ドラジオ技術12, p. 312~355.

- 電子展望編. 1976. エレクトロニクス301回路集, 誠文堂新光社, 東京. p. 47.
- 松岡節, 日裏久英. 1978. 電子展望, 15(2), 誠文堂新光社, 東京. p. 77~80.
- 閔丙變外7人. 1983. 新制農業水利學, 7版, 卿文社, 서울 p. 42~121.
- 朴夏仁外3人. 1982. 新稿電氣工學, 松園文化社, 서울 p. 8~21. p. 59~66.
- 岡本嗣男外3人. 1980. マイクロコンピュータによる防除薬液自動希釀・散布システムについて, 神戸大學農學部研究報告, 14(1): 157~163.
- 梅田重夫. 1981. 農業機械. 施設におけるマイクロコンピュータの利用, 日本農業機械學會技術講習會資料: 1~13.
- Hollis, P., Hindmarch, R. W. 1980. A microprocessor controlled farm management system. The Agr. Eng. 35(2): 35~37.
- McCarthy, T. T. 1980. The microprocessor in Agriculture two applications. The Agr. Eng.

學會廣告

◎ 韓國農業機械學會誌 合本販賣

學會創立10周年記念事業으로 학회誌를 合本 製作하여 販賣하오니 購入하시기 바랍니다.



- 冊 數: 2 (총 1751페 이지)
- 價 格: 價當(2冊) 15,000원(送料包含)
- 購入方法: 별첨 우편대체납입 통지서를 이용하여 송금하시면 즉시 우송하여 드립니다.
- 기타사항: 部數가 100帙로 한정되어 있으므로 선착순으로 판매함